

Б. НАУМОВ

## ЭЛЕКТРОХИМИЧЕСКИЕ ОСОБЕННОСТИ ПРОЦЕССА САМОВОЗГОРАНИЯ КЕРОГЕНСОДЕРЖАЩИХ АРГИЛЛИТОВ В ОТВАЛАХ ФОСФОРИТНОГО МЕСТОРОЖДЕНИЯ МААРДУ

Породные отвалы Маардуского фосфоритного карьера состоят в среднем на 28—36% из керогенсодержащих аргиллитов — диктионемовых сланцев. Образующиеся при экскавации пород скопления диктионемового сланца способны к самовозгоранию, что неизбежно ведет к загрязнению среды.

Все самовозгорающиеся вещества склонны к сорбции кислорода. Установлено, что сорбционная способность сухого диктионемового сланца (а также сульфидов) равна нулю и резко возрастает с увеличением степени заполнения пустот влагой (Пихлак, 1974). В массе диктионемового сланца с попаданием влаги обнаруживается электрохимическая разность потенциалов (ЭХРП) между разными по структуре, степени прогрева, минеральному и химическому составам участками, между ниже- и вышележащими слоями и более или менее продуваемыми ветром частями склонов отвалов. Электрохимический аспект процесса самовозгорания диктионемового сланца — тема описанных ниже исследований.

Электризацию сухих горных пород могут вызвать дефекты кристаллических решеток минералов и различия в электрохимических потенциалах разных минералов (Плаксин, Шафеев, 1959), трибоэлектрические явления, наблюдаемые при воздействии ветра, а также трение и соприкосновение частиц породы, неравномерный прогрев, деформированное состояние минералов. При наличии влаги происходит движение тонких пленок жидкости на поверхности частиц пород под воздействием капиллярных сил, гравитации и давления ветра, что вызывает потенциал протекания, пропорциональный давлению и фильтрационной активности горных пород (Пархоменко, 1968, с. 163).

Из наблюдений в карьере Маарду следует, что вода, попавшая в толщу отвала, меняет свой химический состав и становится электролитом. Так, содержание ионов железа в такой воде возрастает в 6—10 раз, хлора в 3—10 раз,  $\text{SO}_4^{2-}$  в 15—50 раз, рН среды растворов из зон горения достигает 2,5—1,8. По нашим данным, электропроводность воды при 20°C увеличивается в 4 раза после получасового пребывания в ней раздробленного диктионемового сланца, а после нагрева смеси до 92° — еще в 7,5 раза. Электропроводность сланца, подвергшегося горению, увеличивается в десятки раз в зависимости от степени влажности массы. Это указывает на наличие активных окислительных процессов в отвальной толще в присутствии кислорода и влаги (Возная, 1979, с. 94). Первоначальное повышение температуры в массе раздробленного диктионемового сланца объясняется аккумуляцией тепла при хемосорбции, т. е. при химическом поглощении кислорода. Так, экзотермический эффект реакции окисления сульфидов характе-

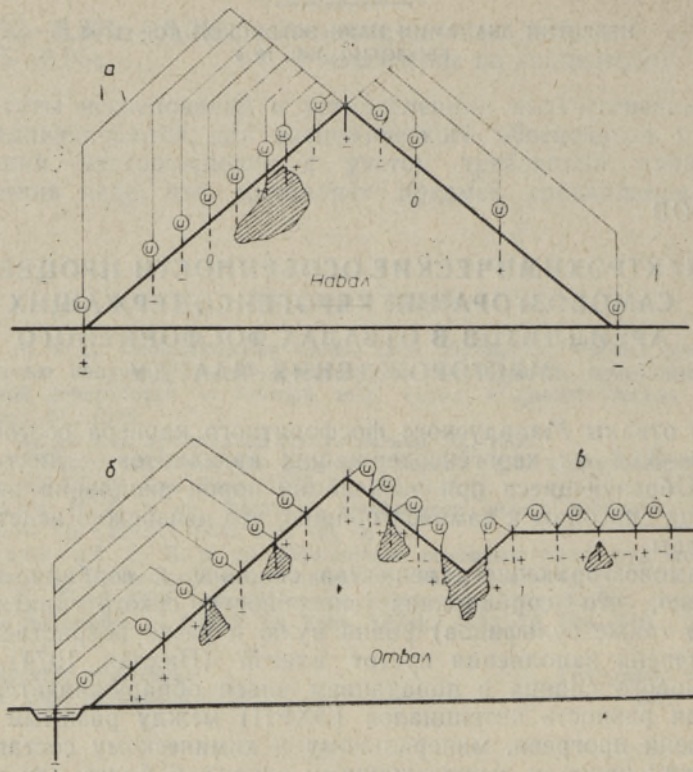


Рис. 1. Схемы замеров ЭХРП в натуре. *а* — схема с постоянным верхним и подвижным нижним электродами, способ по-тенциалов; *б* — схема с постоянным нижним и подвижным верхним электродами, способ по-тенциалов; *в* — схема со сближенными подвижными электродами, способ градиентов. Очаги прогрева заштрихованы.

ризуется выделением 3,4—3,7 кал тепла на 1 мл поглощенного кислорода (Пихлак, Ильчук, 1974, с. 225). Электрохимические процессы резко ускоряют реакцию окисления, вследствие чего повышается температура, что в свою очередь ведет к аккумуляции тепла и еще большему ускорению процесса электрохимического окисления, создавая, таким образом, цепную реакцию. Наблюдаемая корреляционная зависимость роста ЭХРП и температуры в диктионемовом сланце подтверждает это положение.

Явление роста ЭХРП в самонагревающихся сульфидах, торфах и углях установлено и описано также в ряде работ (Александров и др., 1979; Пихлак, Ильчук, 1974). Некоторые исследователи наблюдали разность потенциалов естественного электрического поля над рудными телами (до 170—750 мВ), а также на месторождениях углефицированных сланцев (Якубовский, Ляхов, 1956, с. 241).

Для превращения реакции окисления в цепную необходимы благоприятные условия. Эти условия следующие: положительный тепловой баланс в массе диктионемового сланца; достаточный приток кислорода в очаг самонагрева; наличие влаги.

Автором настоящей статьи обнаружена ЭХРП и исследована динамика этого явления в массе диктионемового сланца и других породах Маардусского месторождения. Объектом исследования служили все

виды пород месторождения в забое, отвалах и опытных навалах разных форм. Методом естественного электрического поля пытались выявить и идентифицировать ЭХРП пород в зависимости от их температуры, физического состояния, расположения в пределах горных выработок и давности отработки. Были опробованы медные, алюминиевые и графитовые электроды. Измерения тока и разности потенциалов производились стандартным миллиампервольтметром типа ТЛ-4М (схемы замеров приведены на рис. 1). Каждая пара электродов подбиралась из одного металла с целью уменьшения влияния поляризации и собственной разности потенциалов. Для введения поправки в показания шкалы прибора при замере заведомо малых величин ЭХРП (до 10 мВ) электроды менялись местами при каждом таком определении. Для контроля выборочно применялись графитовые электроды.

Наиболее удобными в работе оказались медные электроды — штыри из электротехнической рафинированной меди длиной 700 мм и диаметром 15 мм. Собственная разность потенциалов этих электродов не превышала 3—5 мВ и определялась взаимной перестановкой каждого из пары электродов в одни и те же точки на линии с нулевым или близким к нему значением разности потенциалов естественного поля. По всей длине забоев, специально отсыпанных навалов и на отвалах произведено более 200 замеров ЭХРП и температур (табл. 1).

В результате проведенных экспериментальных наблюдений выявлены следующие закономерности процесса самонагрева диктионемового сланца.

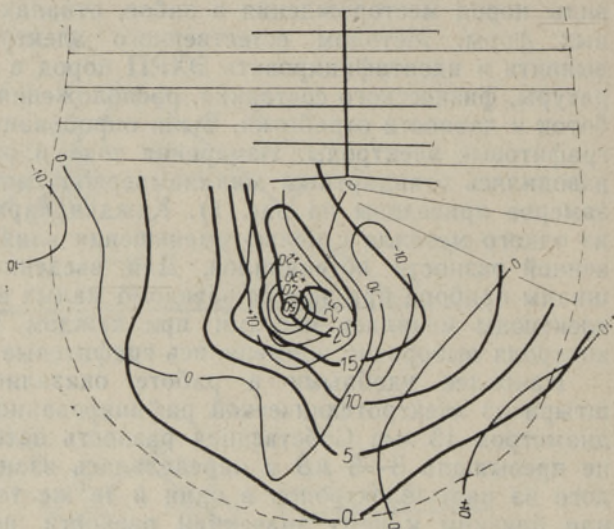
Таблица 1

Электрохимические показатели температурного режима  
пород месторождения Маарду

Место замера, вид пород	Расстояние между элек- тродами, м	Полярность		Temperatura, °C		Ток и разность потенциалов	
		Нижний электрод	Верхний электрод	Нижний электрод	Верхний электрод	мкA	мВ
<b>1. Забой</b>							
Глина—известняк	8	+	-	4,8	3,5	1,5	1,5
Сланец—кварцевый							
песчаник	5	+	-	6,4	6,2	11,3	11,3
То же	3	-	+	6,1	6,4	13,3	13,3
То же	2	-	+	12,3	11,1	12,0	12,0
<b>2. Отвалы</b>							
Смесь пород (негорящие участки)	4	+	-	2,8	2,6	4,3	4,3
То же	3	+	-	8,0	7,6	10,5	10,5
То же	3,5	-	+	11,2	12,4	6,3	6,3
Глина	3	+	-	4,8	3,5	1,5	1,5
<b>3. Опытный навал</b>							
Сланец (прогрева нет)	8	+	+	6,3	8,4	5,2	5,2
То же	8	+	-	6,3	11,5	3,3	3,3
Сланец (прогрев)	3	-	+	2,8	48,0	80	200
<b>4. Внутренний отвал</b>							
Смесь пород (прогрев)	15	-	+	2,0	55,0	280	360
То же	4	-	+	20,0	100,0	620	600
То же	15	-	+	15,0	120,0	0	0

Рис. 2. Схема очага самонагрева диктионемового сланца. Зависимость ЭХРП от температуры на поверхности опытного навала на 26-е сутки. Жирные линии — изолинии температуры и их значения, °C; нежирные — изолинии ЭХРП и их значения, мВ.

1. ЭХРП зафиксирована во всех породах месторождения как в забое, так и в навалах любой формы.
2. ЭХРП наблюдается только во влажных породах.
3. Величина ЭХРП в забое и в навалах не превышает 13—15 мВ, если в диктионемовом сланце не происходит процесса самонагрева. Этую величину можно считать фоновой (табл. 1, 1, 2).
4. Основным признаком появления самонагрева в массе диктионемового сланца следует считать рост значения ЭХРП по сравнению с фоном (первоначальным значением).
5. Величина ЭХРП и полярность электродов незначительно меняются при нагреве сланца от внешнего источника тепла (табл. 1, 1, 2), например солнца.
6. Как в целике, так и в рыхлой массе нижняя зона (основание отвала), как правило, имеет более низкую температуру и отрицательно заряжена (табл. 1, 1, 2, 3). Верхняя зона соответственно более прогрета и положительно заряжена. Зона самонагрева всегда и в любом месте навала заряжена положительно (табл. 1, 3, 4).
7. С ростом температуры в очаге самонагрева до 100—110° ЭХРП увеличивается и достигает 600 мВ. При дальнейшем росте температуры ЭХРП исчезает в связи с испарением влаги. Наглядно зависимость



Показатели темпов роста ЭХРП и температуры для диктионемового сланца, угля и торфа

Таблица 2

Материал	Приращение ЭХРП, мВ/град	Кратность увеличения силы тока	Приращение температуры, град/сут	Интервал температур, град	Время наблюдений, сут	Место наблюдений
Диктионемовый сланец (Маарду)	4,17	50	1,09	1—50	45	Склад
Уголь *	2,68	109	1,78	20—120	62	Отвалы
Торф **	10,17	39	1,0	34—70	36	Склад

\* Каменева и др., 1978. \*\* Александров и др., 1979.

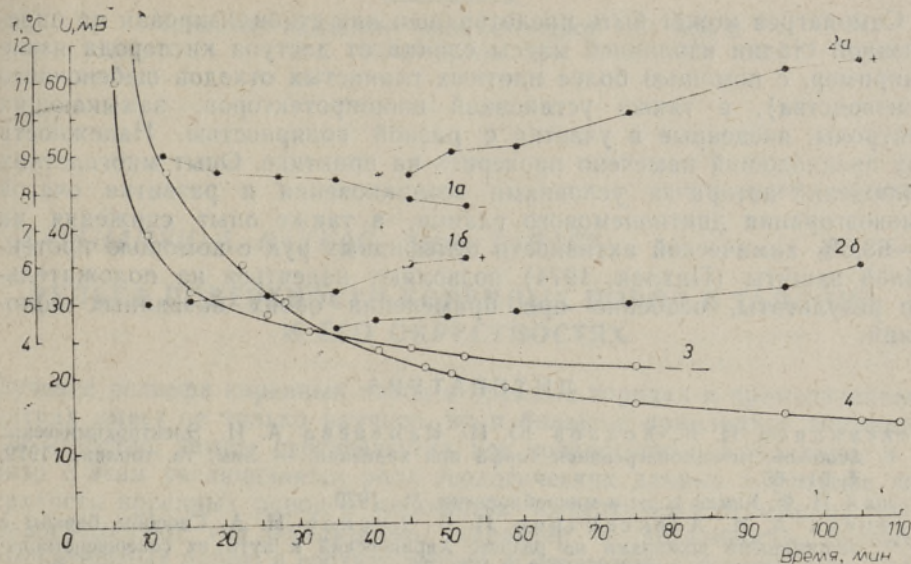


Рис. 3. Спад ЭХРП. Зависимость изменения ЭХРП от температуры и времени протекания тока в цепи порода — нижний электрод — проводник — верхний электрод — порода на откосе навала диктионемового сланца. 1 и 2 — температура верхних (а) и нижних (б) медных и графитовых электродов соответственно; 3 и 4 — ЭХРП для медных и графитовых электродов соответственно.

величины ЭХРП и полярности электродов от температуры на одном из этапов прогрева опытного навала диктионемового сланца представлена на рис. 2.

8. ЭХРП и температура очагов самонагрева для диктионемового сланца в благоприятных условиях увеличиваются скачкообразно с 21-х по 37-е сутки, для торфа — с 3-х по 8-е и с 62-х по 70-е сутки (Александров и др., 1979), для угля — с 60-х по 62-е и с 130-х по 200—250-е сутки (Саранчук, 1978). Средняя скорость роста ЭХРП и температуры для этих пород приведена в табл. 2.

9. На начальных стадиях температурного прогрева пород наблюдается спад ЭХРП в зависимости от времени протекания тока во внешней цепи, замыкающей два участка, при этом происходит их разрядка (рис. 3).

### Выводы

1. В результате выщелачивания и растворения химических соединений из пород вскрыши и диктионемового сланца в массе отвала неизбежно возникновение электролита из-за наличия в ней естественной влаги.
2. Самонагрев возможен при наличии оптимального количества влаги и кислорода только в нарушенном массиве сланца (растрескивание, взрывное рыхление и т. д.).
3. Рост электрохимической разности потенциалов взаимосвязан с самонагревом диктионемового сланца и является характерным признаком этого процесса, легко определяемым с помощью стандартной электроизмерительной аппаратуры.
4. Наблюдая за изменением ЭХРП, можно определить начальные стадии локального самонагрева в массиве диктионемового сланца.

5. Самонагрев может быть предотвращен или стабилизирован на определенной стадии изоляцией массы сланца от доступа кислорода извне (например, с помощью более плотных глинистых отходов щебеночного производства), а также установкой шинопротекторов, замыкающих электроды, введенные в участки с разной полярностью. Надежность этих предложений намечено проверить на практике. Опыт многолетних наблюдений автора за условиями возникновения и развития очагов самовозгорания диктионемового сланца, а также опыт снижения на 53—63,6% химической активности сульфидных руд с помощью протекторной защиты (Пихлак, 1974) позволяют надеяться на положительные результаты, особенно при применении обоих названных положений.

### ЛИТЕРАТУРА

- Александров И. В., Хохлов Ю. И., Каменева А. И. Электрохимические особенности самонагревания торфа при хранении. — Хим. тв. топлива, 1979, 1, 61—65.
- Возная Н. Ф. Химия воды и микробиология. М., 1979.
- Каменева А. И., Александров И. В., Бурков Н. А. Способы борьбы с эндогенными пожарами на разрезе Харанорский и пути их совершенствования. — Хим. тв. топлива, 1978, 1, 72—74.
- Пихлак А. А. Исследование процессов окисления сульфидных медноникелевых руд. — Автореф. дис. канд. техн. н. (ИГД им. А. А. Скочинского). М., 1974.
- Пихлак А. А., Ильчук Н. Т. Научные основы профилактики эндогенных пожаров и ухудшения атмосферных условий при добыче и транспортировке сульфидных медноникелевых руд. Проблемы современной рудничной аэробиологии, АН СССР. М., 1974, 225.
- Плаксин И. Н., Шаффеев И. Ш. К вопросу о механизме возникновения электрохимической неоднородности поверхности сульфидных материалов. — Докл. АН СССР, 1959, 125, 3.
- Саранчук В. И. Борьба с горением породных отвалов. Киев, 1978.
- Якубовский Ю. В., Ляхов Л. Л. Электроразведка. М., 1956.

Государственный научно-исследовательский  
институт горнохимического сырья

Поступила в редакцию  
11/XII 1980

B. NAUMOV

### KEROGEENI SISALDAVATE ARGILLITIDE ISESÜTTIMISE ELEKTROKEEMILISED ISEÄRASUSED MAARDU FOSFORIIDIMAARDLA PUISTANGUIS

Loodusliku elektrivälja meetodit kasutades osutub võimalikaks varakult avastada ise-kuumenemiskolded kerogeeni sisalda argilliidi (diktüoneemakilda) ladudes ja puistanguis ning kavandada vastuabinõusid, aga samuti hinnata ise-kuumenemise dünaamikat ning prognoosida kildalasundi temperatuuri.

B. NAUMOV

### ELECTROCHEMICAL PROPERTIES OF THE SELF-IGNITION PROCESS OF KEROGEN-CONTAINING ARGILLITES IN DUMPS OF THE MAARDU PHOSPHORITE DEPOSIT

The results of research into the focuses of the self-igniting masses of dictyonema shale by the natural field method applied in geophysics, have enabled us to acquire knowledge of the dynamics of the self-ignition process, and to detect, in good time, self-ignition foci of kerogen-containing argillites—dictyonema shales in storages and dumps, determine the main trends of preventing self-ignition, and predict the temperature in dictyonema shale masses.